

ТУРБУЛЕНТНЫЙ ЗАКРУЧЕННЫЙ СЛЕД ЗА СФЕРОЙ
С ПОЛНОЙ ИЛИ ЧАСТИЧНОЙ КОМПЕНСАЦИЕЙ
СИЛЫ СОПРОТИВЛЕНИЯ

B. A. Костомаха, N. V. Леснова

Институт гидродинамики им. М. А. Лаврентьева СО РАН,
630090 Новосибирск

Экспериментально изучен осесимметричный турбулентный след за обтекаемой равномерным потоком воздуха сферой, гидродинамическое сопротивление которой полностью или частично компенсировалось импульсом выдуваемой в ее кормовой части струи. Постановка задачи и форма модели идентичны использованным в [1]. Принципиальное отличие от ранее выполненных опытов состоит в том, что струя имела закрутку. Показано, что даже слабая закрутка потока движителем влияет на развитие безымпульсного следа за сферой. Она приводит к более медленному вырождению характеристик турбулентности и росту поперечных размеров следа.

1. Важными интегральными характеристиками гидродинамического следа за телом являются продольная компонента избыточного импульса J и момент количества движения M . Наиболее подробно изучены незакрученные следы за буксируемыми телами. В таких следах $J = F_x$ и $M = 0$, где F_x — сила сопротивления тела.

В меньшей степени изучены следы за телами, снабженными движителем. Если движитель не вносит закрутки в поток, то в следе по-прежнему $M = 0$. В режиме равномерного прямолинейного движения сопротивление тела полностью компенсируется тягой движителя, и в следе за ним $J = 0$. Такой безымпульсный след ранее изучался экспериментально [1–7] и теоретически или численно [8–15]. Установлено, что закономерности развития гидродинамических следов за самодвижущимися и буксируемыми телами сильно отличаются друг от друга.

Влияние закрутки потока движителем на динамику безымпульсного следа изучалось в опытах [3, 4]. При этом в [3] исследовано два способа создания самодвижения: сопротивление удобообтекаемого тонкого тела вращения компенсировалось кольцевой струей, не создающей закрутки потока, и пропеллером, установленным в кормовой части тела. В выводах отмечается, что скорость вырождения возмущений осевой компоненты скорости для обоих рассматриваемых случаев самодвижения одинакова, начиная уже с небольшого расстояния от тела, а влияния закрутки на поле средней скорости практически нет. Аналогичные выводы получены в [4], где след с нулевым избыточным импульсом создавался также с помощью хорошо обтекаемого тела с «реактивным» движителем, струя которого в одной серии опытов закручивалась, а в другой нет.

Однако выполненный в [16–19] анализ асимптотического поведения возмущений средней скорости в автомодельном следе с закруткой позволил установить, что наличие тангенциальной составляющей скорости, даже небольшой по величине, заметно влияет на картину течения в следе и это влияние прослеживается на достаточно больших расстояниях от тела. Приводимые ниже экспериментальные данные иллюстрируют роль

закрутки потока на эволюцию безымпульсного следа за сферой, а также дают представление об особенностях развития следа в зависимости от соотношения J и M .

2. Опыты проводились в низкотурбулентной аэродинамической трубе с закрытой рабочей частью длиной 4 м и характерным размером по-перечного сечения $0,4 \times 0,4$ м. Сфера диаметром $D = 25$ мм, насаженная на трубку с наружным диаметром 8 мм, закреплялась на проволочных растяжках из вольфрамовой нити диаметром 0,1 мм в начале рабочей части трубы так, как это показано на рис. 1, a, где 1 — сфера, 2 — трубка, по которой подавался воздух, 3 — растяжки, 4 — рабочая часть аэродинамической трубы. В сферу встраивалась специальная форсунка с диаметром внутреннего канала 6 мм, с помощью которой формировалась закрученная струя, истекающая из корковой части сферы. Закрутка потока форсункой создавалась за счет тангенциального подвода воздуха через три ряда отверстий диаметром 1 мм. Чтобы обеспечить умеренную закрутку (без образования зоны обратных токов в окрестности выходного сечения внутреннего канала) и достаточную тягу, в донце форсунки имелось дополнительное отверстие, диаметр которого подбирался экспериментально.

На этом же рисунке показаны используемая при измерениях декартова система координат $Oxyz$, начало которой расположено на задней кромке сферы, и связанная с ней цилиндрическая система координат, в которой ниже представлены полученные результаты.

Для установки модели под нулевым углом атаки к набегающему потоку и определения положения оси следа проводились измерения дисперсии продольной компоненты флуктуаций скорости по двум взаимно перпендикулярным направлениям в плоскостях $\varphi = 0$ и $\varphi = \pi/2$, условно показанным на рис. 1, a штриховыми линиями.

Измерения скорости осуществлялись термоанемометрической аппаратурой фирмы DISA (термоанемометр типа 55D05 и линеаризатор типа 55D15). Чувствительный элемент датчика термоанемометра изготавливается из золоченой или платинированной вольфрамовой нити диаметром 5 мкм и длиной 1,25 или 1,5 мм для однониточного или двухниточного датчиков соответственно.

В опытах измерялись три компоненты скорости: продольная U , радиальная V и тангенциальная W , а также шесть компонент тензора реинольдсовых напряжений $\langle u^2 \rangle, \langle v^2 \rangle, \langle w^2 \rangle, \langle uv \rangle, \langle uw \rangle, \langle vw \rangle$, где u, v, w — продольная, радиальная и тангенциальная компоненты флуктуаций скорости, угловые скобки означают осреднение.

Существует, по крайней мере, два способа получения информации об этих величинах с помощью термоанемометра.

1. Измерения выполняются при шести различных положениях нити датчика относительно выбранной системы координат. Такие положения получают, например, непрерывным поворотом датчика вокруг его оси [20] или последовательной установкой датчика в нескольких фиксирован-

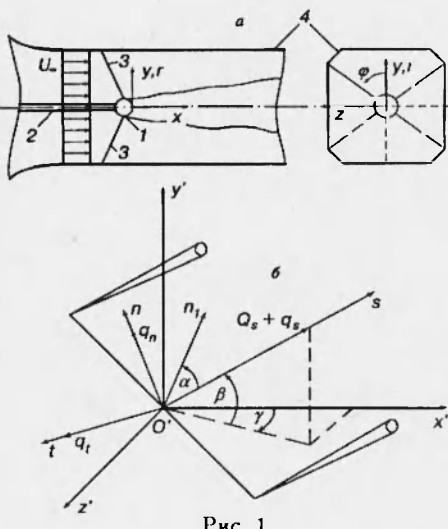


Рис. 1

ных положениях в пространстве [21]. Искомые величины определяются из решения нелинейной системы алгебраических уравнений с использованием той или иной итерационной процедуры. Этот способ является, по-видимому, единственным приемлемым для измерений характеристик турбулентности в течениях, ограниченных твердыми стенками, например в закрученном турбулентном течении в круглой трубе.

2. Однониточный наклонный или, что предпочтительнее, двухниточный датчик со скрещенными нитями ориентируются в потоке так, чтобы ось датчика совпадала по направлению с вектором средней скорости. Пример такой ориентации одной из нитей двухниточного датчика показан на рис. 1,б. Здесь $O'x'y'z'$ — вспомогательная прямоугольная система координат, связанная с точкой измерений. Ее оси параллельны осям системы координат $Oxyz$. Поскольку измерения осуществлялись в фиксированных сечениях лишь вдоль осей Oz или Oy , то для определения направления вектора скорости в заданной точке оказалось достаточно измерить два угла: угол β между вектором скорости и его проекцией на плоскость $x'-z'$ и угол γ между этой проекцией и осью $O'x'$. Необходимые манипуляции датчика обеспечивались специальным координатным устройством, работающим таким образом, что при поворотах датчика вокруг осей $O'z'$, $O'y'$ и вокруг собственной оси чувствительный элемент всегда оставался в заданной точке. Углы поворотов измерялись с помощью реохордов.

Методика определения характеристик турбулентности для датчика, направление оси которого совпадает с вектором средней скорости, не требует решения системы алгебраических уравнений и практически ничем не отличается от методики измерений в одномерном в среднем турбулентном течении [22]. Если при этом плоскость датчика совпадает с плоскостью $s - n$ (рис. 1,б, где $O'n$ — нормаль к $O's$, $O't$ — нормаль к плоскости датчика, n_1 — лежащая в плоскости датчика нормаль к нити, α — угол между этой нормалью и направлением вектора средней скорости, Q_s и q_s , q_n , q_t — осредненная и пульсационные составляющие вектора скорости в системе $O'snt$ соответственно), то измеренные среднее значение выходного сигнала термоанемометра, дисперсии суммы, разности и разность дисперсий флуктуационных составляющих с каждой из нитей дают информацию о величинах Q_s , $\langle q_s^2 \rangle$, $\langle q_n^2 \rangle$ и $\langle q_s q_n \rangle$. Аналогичные измерения в плоскости $s - t$ позволяют найти $\langle q_t^2 \rangle$ и $\langle q_s q_t \rangle$. Чтобы измерить недостающую корреляцию $\langle q_n q_t \rangle$, датчик, предварительно ориентированный по вектору средней скорости, поворачивался вокруг своей оси на $\pm 45^\circ$.

В формулах пересчета параметров выходного сигнала термоанемометра в характеристики турбулентности (см. [22]) фигурирует геометрический угол α , тангенс которого определяет отношение чувствительностей датчика с бесконечно длинными идеально прямыми нитями к различным компонентам флуктуаций скорости. Однако для реальных датчиков чувствительность к направлению зависит от несимметрии распределения температуры вдоль нити, обусловленной ее конечной длиной, способа крепления нити, аэродинамики ее обтекания, возможности деформации в результате нагрева и аэродинамического воздействия и др. Поскольку учесть перечисленные факторы априори пока не удается, наиболее надежным, по мнению ряда экспериментаторов [23, 24], является тарировка датчика по направлению с целью определения некоторого «эффективного» угла α_e .

Выполненные по методике, предложенной в [23], расчеты показали, что величина α_e может отличаться от геометрического угла $\alpha = \pm 45^\circ$ примерно на $\pm 7^\circ$. Чтобы оценить возможную погрешность, связанную с обычно практикуемой заменой угла α_e на α , достаточно привести такой пример: $\operatorname{tg}(\alpha_e)$ изменяется от 1,0 при $\alpha_e = \pm 45^\circ$ до 1,1 при $\alpha_e = \pm 48^\circ$.

Сравнение более сложной методики определения α_e с использованной в данной работе показало, что последняя дает вполне удовлетворительные результаты.

Дальнейший пересчет измеренных в координатной системе $O'snt$ характеристик турбулентности в систему $Oxt\varphi$ при известных углах γ и β осуществлялся на ЭВМ по следующим формулам:

компоненты средней скорости

$$U = Q_s \cos \beta \cos \gamma, \quad V = Q_s \sin \beta, \quad W = Q_s \cos \beta \sin \gamma,$$

нормальные рейнольдсовые напряжения

$$\begin{aligned} \langle u^2 \rangle &= \langle q_s^2 \rangle \cos^2 \beta \cos^2 \gamma + \langle q_s^2 \rangle \cos^2 \gamma \sin^2 \beta + \langle q_s^2 \rangle \sin^2 \gamma - \\ &\quad - \langle q_s q_n \rangle \sin 2\beta \cos^2 \gamma - \langle q_s q_t \rangle \sin 2\gamma \cos \beta - \langle q_n q_t \rangle \sin 2\gamma \sin \beta, \\ \langle v^2 \rangle &= \langle q_s^2 \rangle \sin^2 \beta + \langle q_n^2 \rangle \cos^2 \beta + \langle q_s q_n \rangle \sin 2\beta, \\ \langle w^2 \rangle &= \langle q_s^2 \rangle \cos^2 \beta \sin^2 \gamma + \langle q_n^2 \rangle \sin^2 \beta \sin^2 \gamma + \langle q_t^2 \rangle \cos^2 \gamma - \\ &\quad - \langle q_s q_n \rangle \sin^2 \gamma \sin^2 \beta + \langle q_s q_t \rangle \cos \beta \sin 2\gamma - \langle q_n q_t \rangle \sin \beta \sin 2\gamma, \end{aligned}$$

касательные рейнольдсовые напряжения

$$\begin{aligned} \langle uv \rangle &= (\langle q_s^2 \rangle - \langle q_n^2 \rangle) \cos \gamma \sin 2\beta / 2 + \langle q_s q_n \rangle \cos \gamma \cos 2\beta - \\ &\quad - \langle q_s q_t \rangle \sin \gamma \sin \beta - \langle q_n q_t \rangle \sin \gamma \cos \beta, \\ \langle uw \rangle &= (\langle q_s^2 \rangle \cos^2 \beta + \langle q_n^2 \rangle \sin^2 \beta - \langle q_t^2 \rangle) \sin 2\gamma / 2 - \langle q_s q_n \rangle \sin 2\gamma \sin 2\beta / 2 + \\ &\quad + \langle q_s q_t \rangle \cos \beta \cos 2\gamma - \langle q_n q_t \rangle \cos 2\gamma \sin \beta, \\ \langle vw \rangle &= (\langle q_s^2 - q_n^2 \rangle) \sin \gamma \sin 2\beta / 2 + \langle q_s q_n \rangle \sin \gamma \cos 2\beta + \\ &\quad + \langle q_s q_t \rangle \sin \beta \cos \gamma + \langle q_n q_t \rangle \cos \beta \cos \gamma. \end{aligned}$$

Традиционно относительное влияние избыточного импульса и момента количества движения в свободных турбулентных закрученных течениях характеризуется параметром закрутки $s = 2M/JD_c$, где D_c — диаметр сопла, из которого истекает струя, а J и M рассчитываются по формулам

$$J = 2\pi\rho \int_0^\infty [U_\infty U_1 - W^2/2 + \langle u^2 \rangle - (\langle v^2 \rangle + \langle w^2 \rangle)/2] r dr; \quad (2.1)$$

$$M = 2\pi\rho \int_0^\infty (U_\infty W + \langle uw \rangle) r^2 dr. \quad (2.2)$$

Здесь U_∞ — скорость набегающего потока; $U_1 = U - U_\infty$ — дефицит продольной компоненты средней скорости; ρ — плотность жидкости.

Определенная таким образом степень закрутки постоянна для заданных условий истечения струи и обтекания тела и не зависит от относительного удаления $\zeta = x/D$. Однако в случае, когда $J \rightarrow 0$ ($J = 0$ соответствует безимпульльному следу), $s \rightarrow \infty$, хотя закрутка может быть и небольшой. Поэтому для следов с близкой к нулю величиной J предпочтительнее использовать иное определение меры закрутки. В качестве такой меры удобно взять огношение максимального в каком-либо начальном сечении следа значения окружной скорости $|W_m|$ к соответствующей величине дефицита скорости $|U_1^0|$ на оси следа: $s_1 = |W_m| / |U_1^0|$. При $|W_m| \approx |U_1^0| \ll U_\infty$ $s_1 \approx 1$ и закрутка может считаться слабой. Если

в непосредственной близости от задней кромки тела $|W_m| \approx U_\infty$, то такую закрутку следует считать сильной. В этом случае $s_1 \gg 1$. Указанное определение степени закрутки достаточно наглядно, однако обладает тем недостатком, что может изменяться в зависимости от удаления от тела.

Все опыты выполнены при скорости набегающего потока $U_\infty = 15,3$ м/с, что соответствует числу Рейнольдса $Re = U_\infty D/\nu = 2,6 \cdot 10^4$ (ν — кинематический коэффициент вязкости), и пяти режимах работы форсунки, создающей компенсирующую струю. Вариация режимов достигалась изменением расхода воздуха, протекающего через форсунку. При этом одновременно менялись величины избыточного импульса и момента количества движения. Количественные значения полученных в опытах характеристик степени закрутки s и s_1 , степени компенсации силы сопротивления тела тягой движителя $\beta_x = J/F_x$ (F_x — сила сопротивления тела без движителя), а также безразмерные значения избыточного импульса $J' = J/2\pi\rho U_\infty^2 D^2$ и момента количества движения $M' = M/2\pi\rho U_\infty^2 D^3$ представлены в таблице.

Номер режима	J'	M'	s	s_1	β_x
1	-0,0126	0,0044	-0,70	0,34	-0,37
2	-0,0047	0,0058	-2,47	0,56	-0,14
3	0,0	0,0070	∞	1,10	0,0
4	0,0028	0,0076	5,43	1,54	0,08
5	0,0053	0,0079	2,98	2,11	0,15

Следует заметить, что каждому из изученных режимов на плоскости параметров $J' - M'$ соответствует одна точка. Для режимов 1, 2 тяги движителя было недостаточно, чтобы уравновесить гидродинамическое сопротивление тела, поэтому $J' < 0$, $\beta < 0$. В режиме 3 за телом развивался безымпульсный след ($J' = 0$, $\beta = 0$) с отличной от нуля интегральной закруткой. Для режимов 4, 5 тяга движителя превышала сопротивление тела, поэтому $J' > 0$, $\beta > 0$. Величины избыточного импульса и момента количества движения оценивались по измеренным распределениям $U_1(r)$ и $W(r)$ по формулам (2.1) и (2.2), в которых вклад слагаемых, обусловленных флуктуациями скорости, оказался мал. Значения s_1 определялись с использованием данных, полученных в сечении следа $\zeta = 7$.

3. Результаты измерений $U_* = U_1/U_\infty$ и $W_* = W/U_\infty$ представлены на рис. 2, 3 в зависимости от $\xi = r/D$. В правой части этих рисунков, а также рис. 4 приведены данные, измеренные в плоскости $\varphi = 0$, в левой — в плоскости $\varphi = \pi$. На рис. 2–4 *a–г* — результаты, полученные на относительных удалениях от тела $\zeta = 7, 10, 20, 50$ соответственно, а точки — режимы 1, 3, 5 работы форсунки. В опытах измерялись все три компоненты вектора скорости, однако одна из них (радиальная) оказалась малой. Малым был также угол β .

Профили $U_*(\xi)$ в следах за самодвижущимся телами формируются в результате взаимодействия возмущений, вносимых в поток обтекаемым телом и движителем. В безымпульсных следах без закрутки, изученных, например, в [1, 5], распределение U_* в приосевой области определялось струйным течением, созданным движителем. Скорость течения здесь превышала U_∞ и $U_*^0 > 0$ (U_*^0 — значение U_* на оси следа). В кольцевой периферийной зоне следа $U_* < 0$. Это собственно след от тела. В рассматриваемом же случае закрутка создавала центробежные силы, которые перераспределяли суммарный импульс так, что струйная область с $J > 0$, $U_* > 0$ становилась периферийной, а внутренняя зона с $J < 0$, $U_* < 0$ формировалась следом от сферы. В качественном отношении полученные профили $U_*(\xi)$ согласуются с распределениями скорости в следе за телом с винтовым движителем [3]. Таким образом, с помощью закрутки в следе за самодвижущимся телом можно создать начальный профиль U_* , принципи-

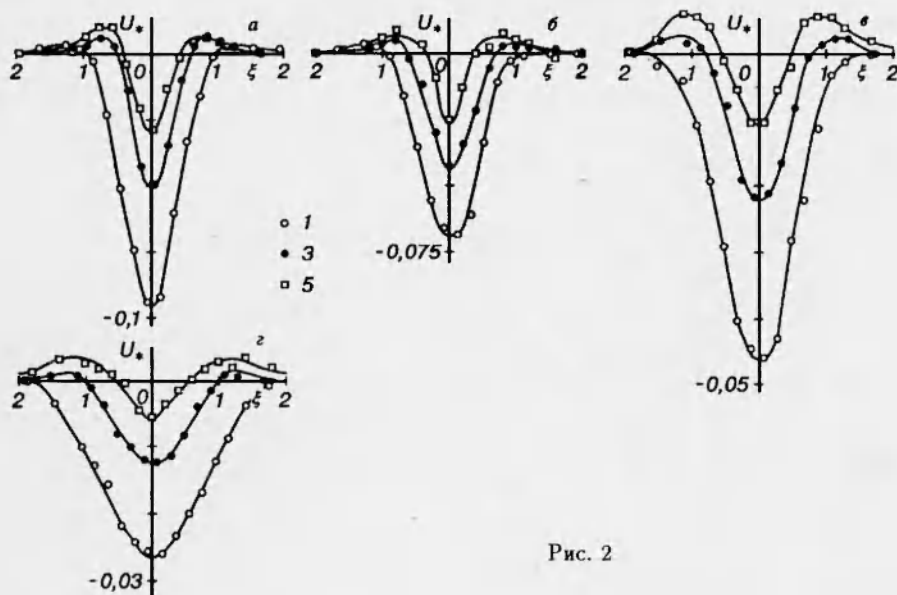


Рис. 2

пиально отличающийся от [1, 5]. В совокупности с небольшими отклонениями интегрального импульса от нуля вид начального профиля U_* в значительной мере определяет дальнейшую эволюцию следа.

При $J > 0$ или $J < 0$ профиль $U_*(\xi)$ по мере удаления от тела должен трансформироваться таким образом, что рано или поздно приобретет форму, типичную либо для струи в спутном потоке, либо для следа за буксируемым телом соответственно. Очевидно, что расстояние ζ , на котором осуществляется такая перестройка течения, зависит как от избыточного импульса, так и от вида начального распределения U_* . Если при $J < 0$ в приосевой области следа $U_* < 0$, то течение станет чисто «следным» уже на небольшом удалении от тела, тем меньшем, чем больше отличается J от нуля. При $J < 0$ и $U_*^0 > 0$ перестройка течения должна осуществляться дольше, так как первоначально положительный дефицит скорости на оси следа будет преобразовываться в отрицательный, проходя значение $U_*^0 = 0$. В случае $J > 0$ надо ожидать иной трансформации профиля $U_*(\xi)$. Если начальное распределение дефицита таково, что $U_*^0 > 0$, то должно достаточно быстро установиться чисто струйное течение, и наоборот, если при малых ζ $U_*^0 < 0$, то с ростом ζ должна произойти смена знака U_*^0 и перестройка течения затягивается.

В выполненных опытах для всех режимов работы движителя оказалось $U_*^0 < 0$. Поэтому при $J < 0$ для режима 1 уже при $\zeta \geq 20$ в профиле U_* нет областей с $U_* > 0$, а сам профиль напоминает типичное распределение дефицита скорости в следе за буксируемым телом. При режиме 5 $J > 0$ и профиль U_* на изученных расстояниях остается знакопеременным и не достигает формы, характерной для струйного течения. Однако свидетельством того, что такая перестройка имеет место, может служить, например, рост отношения максимального значения U_* , взятого по струйной части профиля, к $|U_*^0|$. Для режима 5 это отношение равно 0,31 при $\zeta = 7$; 0,52 при $\zeta = 20$; 0,63 при $\zeta = 50$.

Если форма профилей дефицита средней скорости в закрученном следе за сферой существенно отличается от распределения продольной компоненты скорости в закрученной струе, то характер изменения окружной

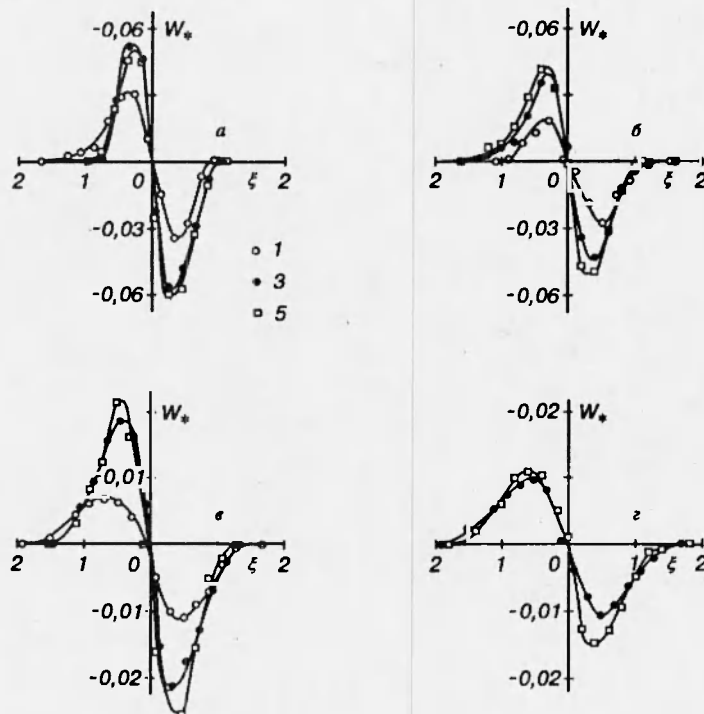


Рис. 3

скорости $W_*(\xi)$ (см. рис. 3) в этих течениях в качественном отношении близок и напоминает поле скорости уединенного вихревого жгута с прямолинейной осью, совпадающей с осью следа. В непосредственной окрестности оси следа $W_* \sim \xi$, т. е. в этой области жидкость вращается как твердое тело. С ростом закрутки размеры этой области уменьшаются, а максимальное в данном сечении следа значение окружной скорости W_{m*} монотонно увеличивается. Среди приведенных на рис. 3, г данных отсутствует профиль окружной скорости для серии опытов с самой малой степенью закрутки потока (режим 1). Как оказалось, и это будет продемонстрировано ниже, вырождение возмущений поля скорости, обусловленных вращением, в этом случае осуществляется достаточно быстро и величина W при $\zeta = 50$ была столь малой, что ее не удалось надежно зарегистрировать.

На рис. 4, а-г приведены типичные поперечные распределения интенсивностей продольной $u_* = \langle u^2 \rangle^{1/2} / U_\infty$, поперечной $v_* = \langle v^2 \rangle^{1/2} / U_\infty$, тангенциальной $w_* = \langle w^2 \rangle^{1/2} / U_\infty$ компонент пульсационной составляющей скорости, а также корреляций $\langle uv \rangle_* = \langle uv \rangle / U_\infty^2$, и $\langle vw \rangle_* = \langle vw \rangle / U_\infty^2$. Эти данные относятся к сечению следа $\zeta = 20$. Корреляция $\langle uw \rangle$ во всех выполненных опытах была пренебрежимо малой.

Видно, что варьирование величины избыточного импульса и момента количества движения вносит существенные особенности в процесс формирования и последующего развития поля турбулентности в следе за сферой. Недостаток силы тяги движителя по сравнению с силой сопротивления тела и малая закрутка (режим 1) порождают такую турбулентность, которая уже на небольших расстояниях от сферы приобретает черты, ха-

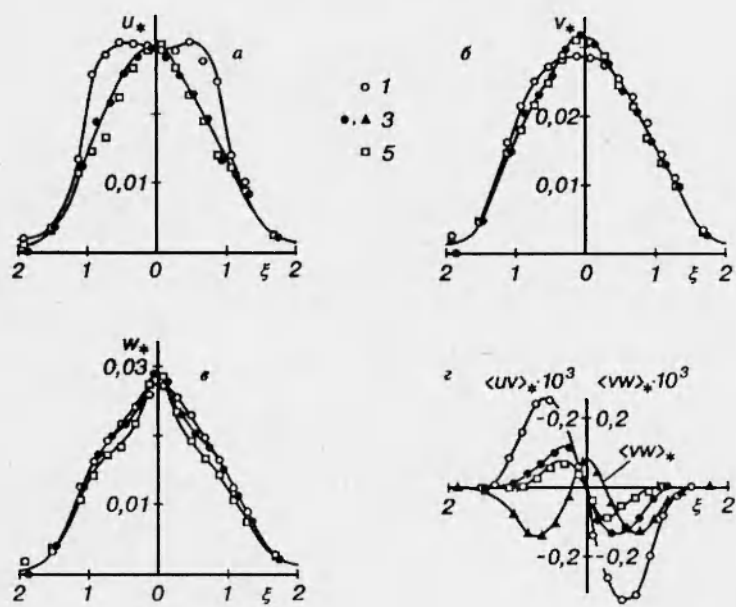


Рис. 4

рактерные для следа за буксируемым телом. Наиболее заметно это проявляется на трансформации профилей u_* . При малых ζ они имеют колокообразную форму, но уже при $\zeta \geq 20$ становятся двугорбыми, похожими на соответствующие профили u_* в следах за осесимметричными телами без движителя.

Распределения двух других компонент флюктуаций v_* и w_* , а с ростом закрутки и тяги движителя и профиль u_* имеют унимодальную форму. Повышенный уровень флюктуаций в приосевой зоне следа несомненно определяется работой движителя, что особенно ярко проявляется в форме профиля w_* , измеренного при режиме 5. Скорее всего, поведение турбулентности в этой области не носит универсального характера в том смысле, что в закрученном другим движителем (например, винтом) следе распределения этих характеристик будут иными.

Быстрое вырождение возмущений поля средней скорости в безымпульсном следе без закрутки приводит к тому, что уже на небольших расстояниях от тела турбулентность становится практически бесследовой [1, 5]. Иная картина наблюдается в следе с закруткой, где во всей изученной области течения значимыми оказываются не только корреляции $\langle uv \rangle$, но и обусловленные наличием окружной компоненты скорости корреляции $\langle vw \rangle$ (рис. 4, д). Как можно видеть, профиль $\langle uv \rangle_*$ таков, что точки, в которых $\langle uv \rangle_* = 0$, примерно совпадают с точками, где $\partial U_1 / \partial r = 0$. Это свидетельствует о возможности использования градиентной гипотезы $-\langle uv \rangle = \nu_t \partial U_1 / \partial r$, где ν_t — коэффициент турбулентной вязкости.

Аналогичное соотношение для корреляции $\langle vw \rangle$ должно иметь вид $-\langle vw \rangle = \nu_t r \partial / \partial r (W/r)$. Однако в приосевой области безымпульсного следа с закруткой (режим 3) это равенство с конечным значением ν_t не имеет места, так как при малых r $W(r) \sim r$ и $\partial / \partial r (W/r) = 0$, тогда как $\langle vw \rangle \neq 0$.

Вариации величин J и M оказывают влияние не только на попереч-

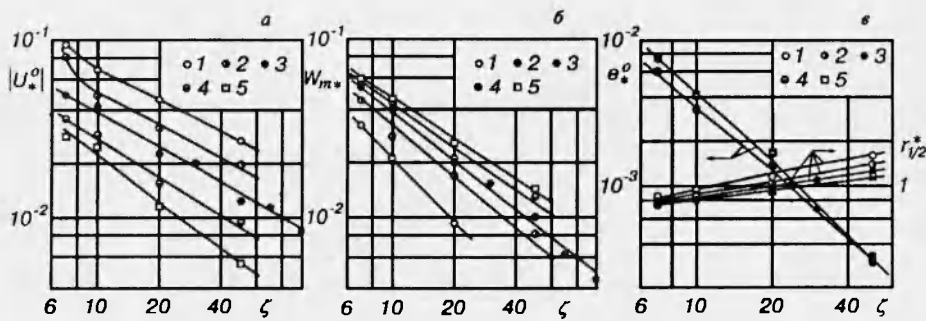


Рис. 5

ные распределения тех или иных характеристик турбулентности, но и на особенности их вырождения в следе. Это иллюстрируется рис. 5, а–б, где приведены данные о поведении U_*^0 , W_{m*} , e_*^0 и $r_{1/2}^*$ в зависимости от ζ (e_*^0 — энергия турбулентности на оси следа, $r_{1/2}^* = r_{1/2}/D$ — характерный поперечный размер следа, определяемый из условия $u_*(r_{1/2}) = 0,5u_*^0$, u_*^0 — интенсивность флуктуаций продольной компоненты скорости при $r = 0$), точками показаны режимы 1–5.

В выполненных сериях опытов лишь при $J = 0$ возможен автомодельный режим течения в следе, тогда как при $J < 0$ или $J > 0$ на изученных расстояниях от тела происходит перестройка течения либо к чисто «следному», либо к «струйному». Так, при $J < 0$ (режимы 1, 2) и $\zeta > 10$ изменение $U_*^0(\zeta)$ практически пропорционально $\zeta^{-2/3}$, что характерно для автомодельного следа за буксируемым телом. Этим же сериям опытов отвечают меньшие начальные значения W_{m*} и достаточно быстрое их вырождение.

При $J > 0$ (режимы 4, 5) убывание U_*^0 осуществляется наиболее быстро. Такое развитие следа обусловлено необходимостью перестройки начального распределения $U_*(\xi)$ с $U_*^0 < 0$ в форму, типичную для струйного течения с $U_*^0 > 0$. В этих сериях опытов значения W_{m*} максимальны, а вырождение окружной составляющей скорости самое медленное.

Наличие даже слабой закрутки потока в безыmpульском следе ($J = 0$, режим 3) оказывает сильное влияние на скорость затухания дефицита осевой компоненты скорости по сравнению со случаем также безыmpульского, но незакрученного следа. Если при $J = 0$, $M = 0$ в [1] получено $U_*^0 \sim \zeta^{-1.9}$, то для $J = 0$, $M \neq 0$ выполненные опыты дают $U_*^0 \sim \zeta^{-0.7}$. Несколько быстрее при этом режиме работы движителя убывает вращательная компонента скорости, так что с ростом ζ влияние закрутки должно ослабевать. Однако сколько-нибудь существенного проявления этого процесса на изученных удалениях не обнаруживается.

В отличие от заметного влияния вариаций избыточного импульса и момента количества движения на вырождение поля средней скорости, затухание энергии турбулентности $e_* = (u_*^2 + v_*^2 + w_*^2)/2$, показанное на рис. 5, б, от этих вариаций почти не зависит. Более того, имеющееся небольшое отличие значений e_*^0 при малых ζ для режимов 1, 2 от значений e_*^0 для режимов 3–5 с ростом ζ уменьшается. В то же время закрутка потока в следе приводит к более медленному вырождению энергии турбулентности в безыmpульском следе $e_*^0 \sim \zeta^{-1.5}$, тогда как для $J = 0$, $M = 0$

в [1] получено $e_z^2 \sim \zeta^{-1.9}$.

На этом же рисунке приведены данные о $r_{1/2}^*(\zeta)$, дающие наглядное представление о нарастании характерных поперечных размеров изученного следа вниз по течению. Так, если для режима 1 $r_{1/2}^*$ увеличивается примерно так же, как в следе за телом без движителя, т. е. $\sim \zeta^{1/3}$, то с ростом степени закрутки увеличение поперечных размеров следа монотонно уменьшается и для режима 5 $r_{1/2}^* \sim \zeta^{0.18}$. Медленнее нарастает и толщина закрученного безымпульсного следа ($r_{1/2}^* \sim \zeta^{0.24}$) по сравнению с размерами следа без закрутки ($r_{1/2}^* \sim \zeta^{0.43}$) (см. [1]).

Авторы благодарят В. И. Букреева за полезные обсуждения работы и Е. М. Романова за помощь при подготовке и проведении опытов.

ЛИТЕРАТУРА

1. Алексенко Н. В., Костомаха В. А. Экспериментальное исследование осесимметричного безымпульсного турбулентного струйного течения // ПМТФ. 1987. № 1.
2. Гиневский А. С. Теория турбулентных струй и следов. М.: Машиностроение, 1969.
3. Shetz J. A., Jakubowski A. K. Experimental studies of the turbulent wake behind self-propelled slender body // AIAA J. 1975. V. 13, N 12.
4. Войтович Л. Н. Экспериментальное исследование закрученных турбулентных струйных течений // Промышленная аэродинамика / Аэродинамика лопаточных машин, каналов и струйных течений. М.: Машиностроение, 1986. Вып. 1 (33).
5. Naudascher E. Flow in the wake of self-propelled body and related sources of turbulence // J. Fluid Mech. 1965. V. 22, N 4.
6. Kostomakha V. A., Lesnova N. V. Turbulent axisymmetric momentumless wake in turbulized and non-turbulized external flow // Bulgarien Ship Hydrodynamics Centre. Proc. 1989. V. 1.
7. Higuchi H., Kubota T. Axisymmetric wakes behind a slender body including zero-momentum configuration // Phys. Fluids A. 1990. V. 2, N 9.
8. Биркгоф Г., Сарантонелло Э. Струи, следы и каверны. М.: Мир, 1964.
9. Городцов В. А. Автомодельность и слабые замыкающие соотношения для симметричной свободной турбулентности // Изв. АН СССР. МЖГ. 1979. № 1.
10. Сабельников В. А. О некоторых особенностях турбулентных течений с нулевым избыточным импульсом // Учен. зап. ЦАГИ. 1975. Т. 6, № 3.
11. Finson M. L. Similarity behavior of momentumless turbulent wakes // J. Fluid Mech. 1975. V. 71, N 3.
12. Корнеев А. И. Гипотезы подобия в теории турбулентных спутных струй // Турбулентные течения. М.: Наука, 1977.
13. Hassid S. Similarity and decay laws of momentumless wakes // Phys. Fluids. 1980. V. 23, N 2.
14. Коловандин Б. А., Лучко Н. Н. Численное моделирование поля скорости осесимметричного безымпульсного следа // Тепломассообмен-VI. Минск, 1980. Ч. 2.
15. Федорова Н. Н., Черных Г. Г. О численном моделировании безымпульсного турбулентного следа за сферой // Моделирование в механике: Сб. науч. тр. /РАН. Сиб. отд-ние. ИТПМ. 1992. Т. 6, № 1.
16. Reynolds A. Similarity in swirling wakes and jets // J. Fluid Mech. 1962. V. 15, N 2.

17. Гумилевский А. Г. Исследование безымпульсных закрученных следов на основе двухпараметрической модели турбулентности // Изв. РАН. МЖГ. 1992. № 3.
18. Гумилевский А. Г. Нарушение автомодельности в турбулентных осесимметричных следах с закруткой // Изв. РАН. МЖГ. 1993. № 1.
19. Гумилевский А. Г. Автомодельность и законы вырождения в следах с компенсацией по импульсу и моменту количества движения // Изв. РАН. МЖГ. 1993. № 5.
20. Фудзита Х., Коваснаи Л. С. Г. Измерение напряжений Рейнольдса термоанемометром с одиночной вращающейся нитью // Приборы для науч. исследований. 1968. Т.39, № 9.
21. Ступров Г. Е. О методике измерений в трехмерных турбулентных потоках с помощью термоанемометра // Динамика сплошной среды: Сб. науч. тр. / АИ СССР. Сиб. отд-ние. Ин-т гидродинамики. 1971. Вып. 8.
22. Хинце И. О. Турбулентность, ее механизм и теория. М.: Физматгиз, 1963.
23. Брэдшоу П. Введение в турбулентность и ее измерение. М.: Мир, 1974.
24. Browne L. W. B., Antonia R. A., Chua L. P. Calibration of X-probes for turbulent flow measurements // Exp. Fluids. 1989. V. 7, N 3.

*Поступила в редакцию 27/IV 1994 г.,
в окончательном варианте — 1/VI 1994 г.*